

э л е к т р о н н ы й ж у р н а л

# МОЛОДЕЖНЫЙ НАУЧНО-ТЕХНИЧЕСКИЙ ВЕСТНИК

Издатель ФГБОУ ВПО "МГТУ им. Н.Э. Баумана". Эл №. ФС77-51038.

УДК 621.438

## Оптимизация числа ступеней компрессора газогенератора ГТД

**П.В. Небесный**

*Студент, кафедра «Газотурбинные и нетрадиционные энергоустановки»*

*МГТУ им. Н.Э. Баумана, г. Москва, Россия*

*Научный руководитель: Моляков В.Д., к.т.н., доцент кафедры «Газотурбинные и нетрадиционные энергоустановки» МГТУ им. Н.Э. Баумана, г. Москва, Россия*

МГТУ им. Н.Э. Баумана

[nebesnoff@mail.ru](mailto:nebesnoff@mail.ru)

### **Введение**

В данной работе рассматривается оптимизация турбокомпрессора авиационного ГТД путем уменьшения числа ступеней компрессора. (Считается, что  $z_t=1$ ,  $\pi_m = 3,91$ ,  $\alpha_2 > 65^\circ$ ) Сравниваются 3 компрессора с разной геометрией проточной части. При условии одинаковой длины лопатки последней ступени и площади на выходе для каждого из случаев находили число ступеней, а соответственно длину и массу компрессора.

Будет рассмотрено 3 варианта геометрии компрессора:

- с постоянным наружным диаметром  $D_{nep} = const$ ;
- с постоянным средним диаметром  $D_{cp} = const$ ;
- с постоянным диаметром втулки  $D_{bm} = const$ ;

### **Основная часть**

Турбина – стартовый блок в расчете газогенератора ГТД. Частота вращения вала ограничивается прочностью турбинных лопаток. В настоящее время сохраняется тенденция на уменьшение числа ступеней турбины ( $z_t=1..2$ ). И если число ступеней турбины большинства современных проектируемых двигателей и серийных моделей

приблизилось к  $z_t=1$ , и дальше уменьшать  $z_t$  уже некуда, то количество ступеней компрессора так и напрашивается на анализ и поиск способа уменьшения.

Как было сказано в работе [1] повышение экономичности авиационных газотурбинных двигателей (ГТД) только лишь традиционными способами (повышение параметров рабочего процесса, степени двухконтурности (отношение массового расхода воздуха во внешнем контуре двухконтурного двигателя к массовому расходу во внутреннем контуре -  $m$ ) и КПД узлов) добиться практически не возможно. В последнее время все чаще стремятся снизить количество деталей тех узлов, где это возможно, а соответственно и их массу. При выборе наиболее предпочтительной схемы СУ необходимо учитывать не только характеристики ее экономичности, но и массово-габаритные характеристики силовой установки в целом [5]. КПД элементов двигателя выбраны в соответствии с прогнозом развития ТРДД для ДМС на 2025-2030 гг. [2].

В ТРД и ТРДФ стремились сделать максимальную производительность по входу  $d_{\text{отн.вх}}=0,35..0,45$  при  $D_{\text{пер}} = \text{const}$ , что позволяло сделать минимально возможный диаметр компрессора. Когда говорят, что оптимальной с точки зрения количества ступеней компрессора является форма меридионального сечения с постоянным наружным диаметром, то подразумевается анализ по входу ( $F_{\text{вх}} = \text{const}$ ,  $d_{\text{отн.вх}} = \text{const}$ ). Проведем анализ по выходу из компрессора и оценим результаты.

*Фиксированные параметры для каждого случая:*

$\pi_{\text{квд}} = \text{const}$  - степень повышения давления в компрессоре газогенератора

$n_{\text{тк}} = \text{const}$  - частота вращения

$G_{\text{в.вх}} = \text{const}$  – расход воздуха через компрессор

$H_{\text{отн.ср}} = \text{const}$  - средний коэффициент напора ступеней

$d_{\text{отн.вых}} = \text{const}$  - относительный диаметр на выходе из компрессора

$F_{\text{вых}} = \text{const}$  – площадь на выходе из компрессора

$R_1 = \text{const}$  – степень реактивности первой ступени

$C_{\text{отн.а.вх}} = \text{const}$  и  $C_{\text{отн.а.вых}} = \text{const}$  – коэффициент расхода в 1-ой и последней ступенях

$R_{\text{квд}} = \text{const}$  – газовая постоянная для воздуха

$\kappa_{\text{вх}} = \text{const}$  - показатель адиабаты

$P_{\text{вх}}^* = \text{const}$  и  $T_{\text{вх}}^* = \text{const}$  - полные давление и температура на входе в компрессор

$C_{\text{p.вх}} = \text{const}$  – теплоемкость на входе в компрессор

*Основные зависимости:*

$$d_{\text{отн.вх}} = \frac{D_{\text{вт.вх}}}{D_{\text{пер.вх}}} \quad \text{- относительный диаметр на входе в компрессор} \quad (1)$$

$$r_{\text{отн.вх}} = \sqrt{\frac{(1 + d_{\text{отн.вх}}^2)}{2}} \quad \text{- средний радиус на входе в первую ступень} \quad (2)$$

$$C_{\text{отн.у.вх}} = r_{\text{отн.вх}} * (1 - R_1) - \frac{H_{\text{отн.ср1}}}{2 * r_{\text{отн.вх}}} \quad \text{- безразмерная окружная скорость на входе} \quad (3)$$

$$C_{\text{вх}} = U_{\text{к.вх}} \sqrt{C_{\text{отн.у.вх}}^2 + C_{\text{отн.а.вх}}^2} \quad \text{- абсолютная скорость на входе в компрессор} \quad (4)$$

$$a_{\text{кр.вх}} = \sqrt{\frac{2 * \kappa_{\text{вх}}}{\kappa_{\text{вх}} + 1} * R_{\text{квд}} * T_{\text{вх}}^*} \quad \text{- критическая скорость на входе в компрессор} \quad (5)$$

$$\lambda_{\text{вх}} = \frac{C_{\text{вх}}}{a_{\text{кр.вх}}} \quad \text{- приведенная скорость на входе в компрессор} \quad (6)$$

$$\varepsilon(\lambda, \kappa) = (1 - \frac{\kappa-1}{\kappa+1} * \lambda^2)^{\frac{1}{\kappa-1}} \quad \text{- газодинамическая функция плотности} \quad (7)$$

$$q(\lambda, \kappa) = \left( \frac{\kappa+1}{2} \right)^{\frac{1}{\kappa-1}} * \lambda * (1 - \frac{\kappa-1}{\kappa+1} * \lambda^2)^{\frac{1}{\kappa-1}} \quad \text{- газодинамическая функция плотности} \quad (8)$$

$$\rho_{\text{вх}} = \frac{P_{\text{вх}}^*}{R_{\text{квд}} * T_{\text{вх}}^*} * \varepsilon(\lambda_{\text{вх}}, \kappa_{\text{вх}}) \quad \text{- плотность по статическим параметрам на входе} \quad (9)$$

$$U_{\text{к.вх}} = \sqrt[3]{\frac{\pi * n^2 * G_{\text{в.вх}}}{900 * C_{\text{отн.а.вх}} * \rho_{\text{вх}} * (1 - d_{\text{отн.вх}}^2)}} \quad \text{- скорость конца лопатки 1 ступени компрессора} \quad (10)$$

$$H_{\text{тк}}^* = C_{\text{п.вх}} * T_{\text{вх}}^* \left( \pi_{\text{квд}}^{*\kappa_{\text{вх}}-1/\kappa_{\text{вх}}} - 1 \right) \frac{1}{\eta_{\kappa}^*} \quad \text{- сумма теоретических напоров по ступеням} \quad (11)$$

$$H_{\text{tcp}}^* = H_{\text{отн.ср}} * U_{\text{к.вх}}^2 \quad \text{-теоретический напор средней ступени} \quad (12)$$

$$z_{\kappa} = \frac{H_{\text{тк}}^*}{H_{\text{tcp}}^*} \quad \text{- количество ступеней компрессора} \quad (13)$$

$$d_{\text{отн.вых}} = \frac{D_{\text{вт.вых}}}{D_{\text{пер.вых}}} - \text{относительный диаметр на выходе из компрессора} \quad (14)$$

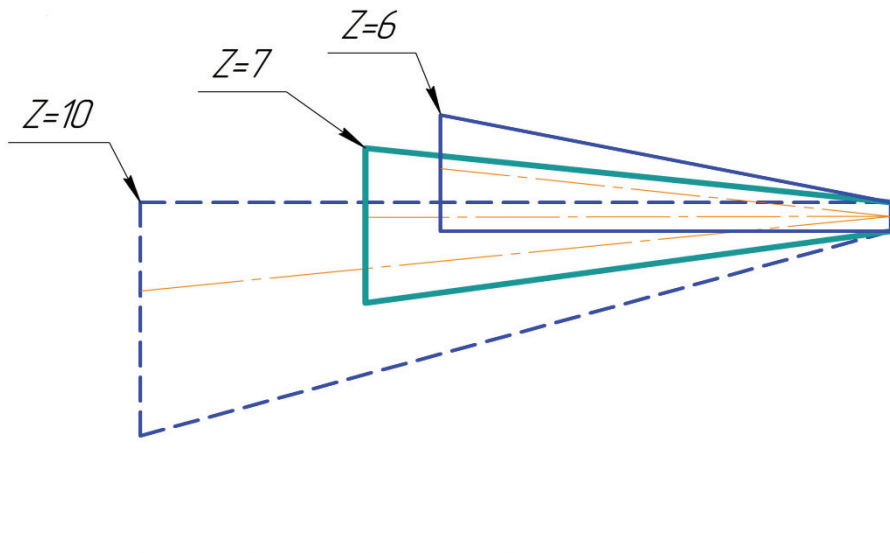
$$D_{\text{пер.вх}} = \frac{60 * U_{\text{к.вх}}}{\pi * n} - \text{диаметр периферии на входе} \quad (15)$$

$$D_{\text{ср.вх}} = r_{\text{отн.вх}} * D_{\text{пер.вх}} - \text{средний диаметр на входе} \quad (16)$$

$$h_{\text{вх}} = 0,5 * (D_{\text{пер.вх}} - D_{\text{вт.вх}}) - \text{высота лопатки на входе} \quad (17)$$

$$h_{\text{вых}} = 0,5 * (D_{\text{пер.вых}} - D_{\text{вт.вых}}) - \text{высота лопатки на выходе} \quad (18)$$

### Результаты расчета



На рисунке графически представлены результаты расчета (Зависимость числа ступеней компрессора газогенератора от выбора формы меридионального сечения проточной части для фиксированных значений  $\pi_{\text{квд}}, n_{\text{мк}}, G_{\text{в.вх}}, H_{\text{отн.ср}}, d_{\text{отн.вых}}, F_{\text{вых}}, z=6, D_{6m} = \text{const}; z=7, D_{cp} = \text{const}; z=10, D_{\text{пер}} = \text{const}$ )

Видно, что наименьшее число ступеней ( $z=6$ ) получается в случае постоянного внутреннего диаметра компрессора. Это вызвано «подъёмом» средней линии

компрессора, а соответственно и увеличением теоретического напора средней ступени, в результате увеличения окружных скоростей лопаток.

Из результатов, представленных ниже в сводной таблице 1 видно, что, несмотря на преимущества схемы с постоянным внутренним диаметром, необходимо принимать во внимание ограничения, связанные с окружными скоростями первой ступени компрессора. Окружные скорости в данном случае превышают предельно допустимые, а значит, подобная схема меридионального сечения не может быть применена в чистом виде. Необходимо комбинировать ее с другими схемами. Количество ступеней для этого случая, в сравнении с  $D_{\text{пер}} = \text{const}$ , сократилось на 40%. Окружная скорость  $U_k$  увеличилась на 19,7% по сравнению с  $D_{\text{пер}} = \text{const}$ .

Для схемы с постоянным средним диаметром значения окружных скоростей находятся в рабочих областях. Количество ступеней компрессора газогенератора на 30% меньше, чем для  $D_k = \text{const}$ . Окружная скорость  $U_k$  увеличилась на 13,3%. Подобная схема компрессора применялась, например, в двигателе ПС-12.

Проточная часть с  $D_k = \text{const}$  может быть применена только при достаточно низких  $\pi_{\text{квд}}$ . В данном примере  $\pi_{\text{квд}} = 13.4$ ; при этом  $d_{\text{отн.вх}} = 0,35$ , что достаточно мало для компрессора высокого давления. Выбор столь малого значения обусловлен ограничением  $d_{\text{отн.вых}} < 0,92$ , что связано с конструктивными особенностями двигателя. Для более низких  $\pi_{\text{квд}} = 6..10$  данная схема является вполне работоспособной.

Таблица 1

Таблица изменения геометрических размеров и количества числа ступеней компрессора газогенератора от выбора формы проточной части.

	$D, \text{м}$		$Z_k$	$U_k, \text{м/с}$		$d_{\text{отн.вх}}$	$d_{\text{отн.вых}}$	$F_{\text{вх}}$ $\text{м}^2$	$F_{\text{вых}}$ $\text{м}^2$	$h_{\text{вх}}$ $\text{м}$	$h_{\text{вых}}$ $\text{м}$
$D_{\text{пер}} = \text{const}$	$D_{\text{пер.вх}}$	0.502	10	$D_{\text{пер.вх}}$	446.8	0.35	0.918	0.175	0.031	0.166	0.0205
	$D_{\text{пер.вых}}$	0.502									
	$D_{\text{ср.вх}}$	0.376									
	$D_{\text{ср.вых}}$	0.482									
	$D_{\text{вт.вх}}$	0.170									
	$D_{\text{вт.вых}}$	0.461									
$D_{\text{ср}} = \text{const}$	$D_{\text{пер.вх}}$	0.579	7	$D_{\text{пер.вх}}$	515.6	0.62	0.918	0.162	0.031	0.110	0.0205
	$D_{\text{пер.вых}}$	0.502									

	$D_{\text{ср.вх}}$	0.482								
$D_{\text{вт}} = \text{const}$	$D_{\text{ср.вых}}$	0.482								
	$D_{\text{вт.вх}}$	0.359								
	$D_{\text{вт.вых}}$	0.461								
	$D_{\text{пер.вх}}$	0.626								
	$D_{\text{пер.вых}}$	0.502	<b>6</b>	$D_{\text{пер.вх}}$	556.9	0.737	0.918	0.141	0.031	0.082
	$D_{\text{ср.вх}}$	0.550								
	$D_{\text{ср.вых}}$	0.482								
	$D_{\text{вт.вх}}$	0.461								
	$D_{\text{вт.вых}}$	0.461								

### Вывод

- Из рассмотренного выше примера можно сделать вывод, что для уменьшения числа ступеней газогенератора нужно увеличивать средний диаметр компрессора, так как частота вращения вала определяется турбиной, а ее диаметр ограничен окружной скоростью конца лопаток.
- Выходное сечение компрессора является определяющим. Ограничение по снижению числа ступеней для  $D_{\text{пер}} = \text{const}$  связано именно с этим параметром.  $d_{\text{отн.вых}}$  не должен превышать 0,92.
- Наиболее выгодной с этой точки зрения считается  $D_{\text{вт}} = \text{const}$ . При данной форме проточной части достигается наименьшее число ступеней газогенератора, но при этом необходимо учитывать ограничения по наружному диаметру турбины и по окружным скоростям лопаток первых ступеней компрессора.
- Для получения наименьшего числа ступеней газогенератора рекомендуется использование комбинированных законов проектирования проточной части компрессора. Например,  $D_{\text{ср}} = \text{const} + D_{\text{вт}} = \text{const}$ .

### Список литературы

1. Предварительное исследование характеристик гибридных турбореактивных двухконтурных двигателей различных схем для ближне- и среднемагистральных самолетов. Эзрохи Ю. А., Каленский С. М., Полев А. С., Дрыгин А. С. // Наука и образование. МГТУ им. Н.Э. Баумана. Электрон. журн. 2012. № 4. Режим доступа: <http://technomag.edu.ru/doc/381537.html> (дата обращения 17.02.2013).

2. Ланшин А.И., Палкин В.А., Федякин В.Н. Анализ тенденций развития авиационных двигателей для самолетов гражданской авиации // Двигатель. 2010. № 6. С. 2-5.
3. Сосунов В.А., Чепкин В.М. Теория, расчет и проектирование авиационных двигателей и энергетических установок. // Москва. Издательство МАИ 2003. С.695.
4. Бекнев В.С., Расчет осевого компрессора // Издательство МГТУ им. Н.Э. Баумана. С. 35.
5. Сравнительный анализ параметров и характеристик различных схем силовой установки с дополнительным выносным винтовентилятором. Эзрохи Ю. А., Каленский С. М., Полев А. С., Дрыгин А. С., Рябов П. А. // Наука и образование. МГТУ им. Н.Э. Баумана. Электрон. журн. 2012. № 4. Режим доступа: <http://technomag.edu.ru/doc/511469.html> (дата обращения 18.02.2013).